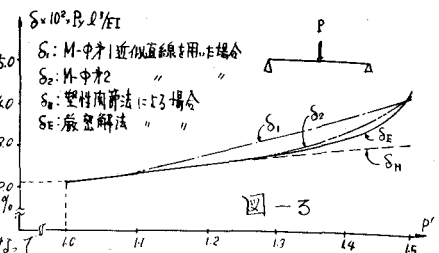


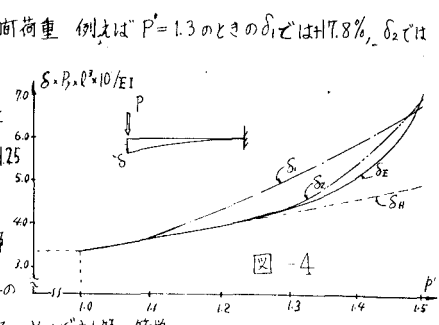
矩形断面とすれば $K'_0=3, K'_1=0.376, K'_2=10.496, f'=1.25$ となる。なお厳密解は $\delta_E = \int \phi \frac{\partial U}{\partial P} ds$ で求まり次の如し。

$$\delta_E = \{ 5 - (P'+3)\sqrt{3-2P'} \} \times P \cdot l^3 / 48P'EI \quad \text{--- (4)}$$

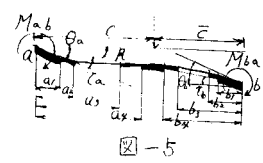
図-3は P_0, P_1 から最終荷重 P_u に達するまでの荷重とたわみの関係を図示したもので、 $P_u (P'=1.5)$ における誤差は δ_2 で -0.86% , δ_1 で -2.6% , δ_H は -32.5% となり、塑性閉節法によるたわみは極端に過小評価値になっている。また δ_1 と δ_2 の誤差は極めて少ないが、最終荷重に至る中間荷重 例えは $P'=1.3$ のときの δ_1 では 17.8% , δ_2 では 11.4% で δ_2 は δ_1 に比して極めて良好な精度を与えること分かる。



5. 片持梁 片持梁の荷重-たわみ曲線を図-4に示す。 P_u における誤差は δ_1 で -2.56% , δ_2 で -0.94% , δ_H で -32.5% また $P=1.25$ では δ_1 は 14.5% , δ_2 は 10.33% となり本法による高精度が立証されている。



6. 不静定構造物 (たわみ角式の誘導) ラーメン等の不静定構造物の塑性解析の厳密解は著しく複雑となるので、塑性閉節法は計算の簡明さにおいて特色を有するが、塑性領域を無視するため誤差は相当大きくなる。そこで計算が簡単かつ精度も良い解法が望まれる。著者等はその一方法として M-phi 1 近似直線を用いた方法を踏襲し、上記の M-phi 2 近似直線を用いた補足エネルギー法によるたわみ角式をあらためて誘導し、簡単な構造物の解析を行いその精度および計算の簡易性を検討した。今図-5に示す部材 a, b の a 端の端モーメント、接線角、たわみ角、部材角を $M_{ab}, \theta_a, \theta_a, R$ また部材の 2 重大線および 1 重の大線はそれぞれ α_1 および α_2 塑性域を表わし、 $a_i, b_i (i=1 \sim 4)$ は枝端から境界までの距離を表わす。



所要の端モーメント式は C_{ab}, C_{ba} をそれぞれ a 端, b 端の固定端モーメントとすると、

$$a \text{ 端では } M_{ab} = K (d_{ab} \theta'_a + \beta_{ab} \theta'_b + \xi_{ab} \psi') + \gamma_{ab} + C_{ab} \quad \text{--- (5)}$$

ただし K : 剛性, $\theta'_a = 2EK \theta_a, \theta'_b = 2EK \theta_b, \psi' = -6EK R, K$: 基準剛度, $M_{ab}, \theta'_a, \theta'_b, \psi', C_{ab}$ はそれぞれ $M_{ab}, \theta_a, \theta_b, \psi, C_{ab}$ と P, l で除したものである。その他の係数は表-2にまとめて示した。

なお C_{ab}, C_{ba} は弾性的の場合と同様の手法でえられるが、ここでは形図の都合上割愛した。

他端 b についての端モーメント式は単に添字 a と b を入れ換えれば直ちにえられる。 表-2

d_{ab}	$\frac{1}{2} \frac{A_{ba}}{A_{ab}A_{ba} - B_{ab}B_{ba}}$	A_{ab}	$(C^2 - C'^2) + \frac{1}{3}(C^3 + C'^3) + K'_1 \{ (a'_2 - a'_1) + (C' - C'^2) - (a_2^2 - a_1^2) + \frac{1}{3}(a_2^3 - a_1^3) + \frac{1}{3}(b_2^3 - b_1^3) \}$ $+ \frac{1}{3}(C^3 + C'^3) + K'_2 \{ (a'_1 - a'_4) + (C' - C'^2) - (a_1^2 - a_4^2) + \frac{1}{3}(a_1^3 - a_4^3) + \frac{1}{3}(b_1^3 - b_4^3) + \frac{1}{3}(C^3 + C'^3) \}$
β_{ab}	$\frac{1}{2} \frac{B_{ab}}{A_{ab}A_{ba} - B_{ab}B_{ba}}$	B_{ab}	$-\frac{1}{2}(C^2 + C'^2) + \frac{1}{3}(C^3 + C'^3) + K'_1 \{ -\frac{1}{2}(a_2^2 - a_1^2) + \frac{1}{3}(a_2^3 - a_1^3) - \frac{1}{2}(b_2^2 - b_1^2) + \frac{1}{3}(b_2^3 - b_1^3) - \frac{1}{2}(C^2 - C'^2) \}$ $+ \frac{1}{3}(C^3 + C'^3) + K'_2 \{ -\frac{1}{2}(a_1^2 - a_4^2) + \frac{1}{3}(a_1^3 - a_4^3) - \frac{1}{2}(b_1^2 - b_4^2) + \frac{1}{3}(b_1^3 - b_4^3) - \frac{1}{2}(C^2 - C'^2) + \frac{1}{3}(C^3 + C'^3) \}$
γ_{ab}	$\frac{D_{ba}B_{ab} - D_{ab}A_{ba}}{A_{ab}A_{ba} - B_{ab}B_{ba}}$	D_{ab}	$K'_1 \{ M'_1(a_2) \{ \frac{1}{2}(a_2^2 - a_1^2) + M'_1(a_1) \{ \frac{1}{2}(C^2 - a_2^2) - (C' - a_1) \} - M'_1(b_2) \{ \frac{1}{2}b_2^2 \} + M'_1(b_1) \{ \frac{1}{2}(b_2^2 - C'^2) \} \}$ $+ K'_2 \{ M'_1(a_1) \{ \frac{1}{2}(a_1^2 - a_4^2) + M'_1(a_4) \{ \frac{1}{2}(C^2 - a_1^2) - (C' - a_4) \} - M'_1(b_1) \{ \frac{1}{2}b_1^2 \} + M'_1(b_4) \{ \frac{1}{2}(b_1^2 - C'^2) \} \}$
ξ_{ab}	$\frac{1}{6} \frac{A_{ba} - B_{ab}}{A_{ab}A_{ba} - B_{ab}B_{ba}}$		$\frac{1}{6} EI (a'_1, b'_1, C', C'$ は a_1, b_1, C, C' をそれぞれで除したもので、 $E M'_1(a_2), M'_1(b_2), M'_1(a_1), M'_1(b_1)$ はそれぞれ a_1, b_1 点における降伏モーメント $M_y(a_1), M_y(b_1)$ および C, C' 点における R (ここで除した) である。

上記のたわみ角式を用いて電子計算機による繰返し計算法^{2), 3)}で簡単な柱端部の弾塑性解析を行ったが、その結果は講演時に呈示する。

(参考文献) 1) 山崎・大田 "弾塑性解析に拡張したエネルギー法" 第19回土木学会学術講演会講演概要(昭和39年5月)
2) 山崎・石川 "弾塑性領域を考慮したエネルギー法による直線材たわみ角式の誘導について" 昭和39年土木学会西部支部研究発表会論文集
3) 山田孝一郎 "捷算法形式による層組の弾塑性解析" 日本建築学会論文報告集第20号(37年12月)